

三軸応力下でのセメントモルタルの変形特性

名古屋大学 (学) ○石井 俊明
名古屋大学 (正) 川本 肇

1. Intro. : 岩石、モルタルなどの岩質材料の力学的特徴は、不均一な構造、空隙の存在と、そのせん性にある。岩質材料が、三軸圧縮応力を受けて変形、破壊する場合には、内部的に複雑な破壊過程が存在し、その集積として巨視的にも興味ある挙動が存在する。ここでは、セメントモルタル (10.8 cm立方, W/C = 65%, 養生 35日) を対象として、三軸応力下 (主として偏差応力下) の変形挙動を調べる。一般にセメントモルタルは、砂、粘土などの粒子の集合体と、金属などの間隙のない連続体との中間的な材料であると考えられるが、この報告ではあくまで連続体としてとりあつかう。すなはち、圧縮応力を平均応力 $\sigma_m = \sigma_{act} = \frac{1}{3}\sigma_{ll}$ 、と偏差応力 $\tau_{act}^2 = \frac{1}{3}\sigma_{ij}'\sigma_{ij}'$ ($\sigma_{ij}' = \sigma_{mm} - \sigma_{ij}$)、に分けて考え、ひずみを平均ひずみ $\epsilon_m = \epsilon_{act} = \frac{1}{3}\epsilon_{ll}$ 、と偏差ひずみ $\tau_{act}^2 = \frac{4}{3}\epsilon_{ij}'\epsilon_{ij}'$ ($\epsilon_{ij}' = \epsilon_m - \epsilon_{ij}$)、に分けて考える。またくり返し載荷を行って、回復しないひずみ (塑性ひずみ) を分離してその塑性変形の状態を調べる。載荷はすでに発表した純三軸圧縮試験機¹⁾による。

2. 実験 : 応力経路は FIG.1 の通りである。(圧縮+)

A. 一軸圧縮試験

B. 静水圧載荷試験 ($\sigma_1 = \sigma_2 = \sigma_3$)

C. 偏差応力試験 (平均応力一定, $\sigma_m = \text{const}$)

A ~ C のすべてに対してもくり返し載荷を行った。材料定数として、一軸圧縮強度 $\sigma_c = 424.5 \text{ kg/cm}^2$, Young率 $E = 1.2 \times 10^5 \text{ kg/cm}^2$, 強度破壊ひずみ $\epsilon_c = 0.63\%$, 初期間隙比 $e_0 = 0.38$ が得られた。

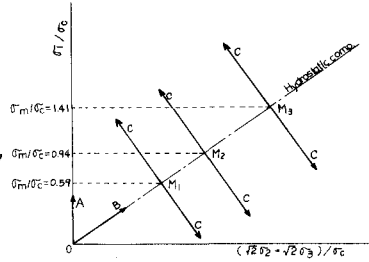


FIG.1 Stress path

3. 実験結果と考察

(1) 静水圧試験: 実験より得られた応力-ひずみ曲線は FIG.2 の通りである。応力-ひずみ曲線は、図の OA 区間にあっては直線であり、AB 区間でゆるくカーブし、BC 区間では再び直線 (傾きは OA よりかなり小さい) となり、C をすぎると、上に凸となる²⁾。図より、材料は AB の領域で“降伏”し、BC を“ひずみ硬化域”と考えることができる。すなはち、静水圧載荷に対しても材料の降伏を考えることができ、これはモルタル内の空隙のためである。静水圧載荷に対する降伏点は、平均的に $\sigma_m/\sigma_c \approx 1.05$ である。図には、くり返し載荷によって得られた回復しないひずみ (塑性ひずみ) をも分離して示した。これから、セメントモルタルは、静水圧載荷に対して降伏しても、 $\sigma_m - \epsilon_m^{\text{elastic}}$ のカーブは変化せず、塑性的なひずみ $\epsilon_m^{\text{plastic}}$ が急激に増大していくことがわかる。また弹性域内でも、一定の比率で塑性ひずみが存在する。

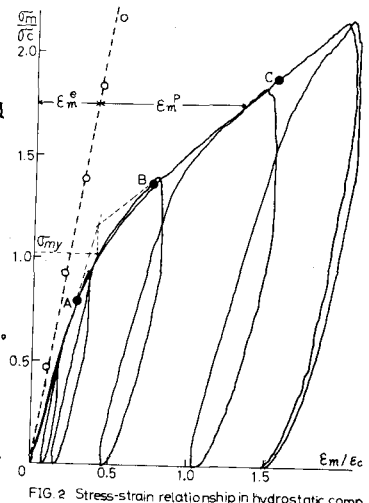


FIG.2 Stress-strain relationship in hydrostatic comp.

(2) 偏差应力試験： 中間主応力を示すパラメータを $\lambda = (\sigma_3 - \sigma_1 - \sigma_2) / (\sigma_1 - \sigma_3)$ とおく。載荷は、 $\sigma_m/\sigma_c = 0.59$ (静水圧載荷で弾性域内), $\sigma_m/\sigma_c = 0.94$ (同, 降伏域内), $\sigma_m/\sigma_c = 1.41$ (同, ひずみ硬化域内) の3種を $\lambda = \pm 1$ で行った。結果の一例として、 $\sigma_m/\sigma_c = 0.94$, $\lambda = -1$ の場合を FIG.3 に示す。くり返し載荷の場合でも、 $\sigma_{tot} - \sigma_{oct}$ のカーブはくり返さない場合とほとんど同じだ。純軸に $\sigma_{tot} - \sigma_{oct}$ をとると $\sigma_{tot} - \sigma_{oct}$ カーブは初期の水平な部分と、 σ_{tot} が増加せず σ_{oct} が増加する部分(破壊)を除くと、ほぼ直線となる。これは σ_{tot} と σ_{oct} がほぼ双曲線の関係にあることを示している。

せん断ひずみ γ_{oct}^e を示すカーブは、得られた σ_1 , σ_2 , σ_3 方向の3つの応力-ひずみ図から回復するひずみを分離して求めたものである。 γ_{oct}^e のカーブはほとんど直線であるが、 γ_{oct} を示す曲線が大きくなるカーブである(降伏)とともに、 γ_{oct}^e も大きくなる。これは、 γ_{oct} が増大するにつれて、ヒステリシスループの傾きが小さくなっていることに起因している。 $\sigma_m/\sigma_c = 0.59, 0.94, 1.41$ の3種について

まとめた図が、FIG.4 であるが、この図を見ると、 σ_m/σ_c の値が変わった γ_{oct}^e のカーブはかわりない。これは平均応力 σ_m/σ_c の増大によっても、材料の弾塑性性質がかわらないことを意味する。また σ_m/σ_c が大きいほど、 $\sigma_{tot} - \sigma_{oct}$ カーブの初期の傾きが小さくなり、それだけ塑性ひずみが大きいことがわかる。静水圧に対して降伏している場合 ($\sigma_m/\sigma_c = 1.41$) では、図より、偏差応力に対しても降伏しており、ひずみ硬化域にはなっていないことがわかる。これは、この材料が、金属のように平均応力 σ_m と偏差応力 σ_{tot} に対する変形が独立でないことを示し、FIG.5 のように、ひずみ硬化する end cap 形の降伏条件を暗示する。これを調べるために、平均応力履歴を加えた偏差応力試験を行った。

FIG.3, 4 から明らかなように、せん断中にかなり大きなコントラクション ΔE_m が存在し、クリープによる体積減少よりもかなり大きい。これは内部的に破碎された粒子の空隙への押し込みによるものと考えられる。また偏差応力の除荷によると、かなりの体積減少が生じていることは、砂の場合と同様である⁴⁾が、注目すべきである。

(3) 平均応力履歴を加えた後の偏差応力試験： 平均応力履歴は、 $\sigma_1/\sigma_c = 1.41$, $\sigma_1/\sigma_c = 2.42$ の2種で、 σ_m/σ_c は $\sigma_1 = 0$ の場合と同様、0.59, 0.94, 1.41 の3種である。結果の一例として、 $\sigma_1/\sigma_c = 2.42$, $\sigma_m/\sigma_c = 0.94$, $\lambda = -1$ の場合を FIG.6 に示す。 σ_m/σ_c を 0.59, 0.94, 1.41 に変えた場合の図を FIG.7 に示す。 $\sigma_m/\sigma_c = 0.59, 0.94, 1.41$ とも初期の変形係数 G_i はほぼ等しい。

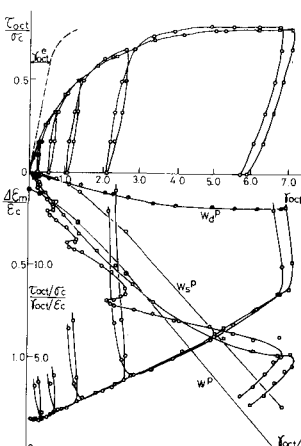


FIG.3 Stress-strain relationships in deviatoric stress test (test C)
case $h_1/\sigma_c = 0$, $\sigma_m/\sigma_c = 0.94$, $\lambda = -1$

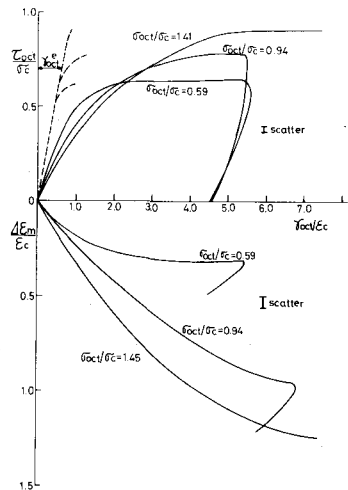


FIG.4 Stress-strain relationships in deviatoric stress test (test C)
case $h_1/\sigma_c = 0$, $\lambda = \pm 1$

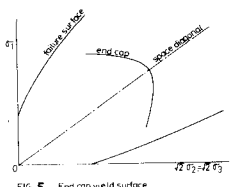


FIG.5 End cap yield surface

く、その値は $h'_i = 0$ の場合(正規圧縮と呼ぶ)よりも明らかに大きい。また弾性的なひずみ γ_{Oct}^e に対する変形係数は、正規圧縮の場合とほぼ等しいようである。これは、弾性的性質は $h'_i > 0$ の場合(過圧縮と呼ぶ)にありてもほとんど変化しないことを意味する。また、この図は静水圧履歴を加えたことにより、材料が偏差応力に対してても弾性的にならうことを示してある。FIG.5 に示す end cap 形の降伏条件が hardening したと考えられる。ただしセメントモルタルの場合には、押しあげられた降伏面の内側でも、若干の塑性ひずみが存在する。

ダイラタニン ΔE_m を示すグラフで注目すべきことは、 $\bar{\sigma}_m/\sigma_c = 0.59$ で密を助けるような正のダイラタニンを示していることである。同時に $\bar{\sigma}_m/\sigma_c = 0.94, 1.41$ の場合にはモコートラクタニンの大ささはすくと小ささい。これは、平均応力履歴によって空隙が減少(構造の低位化⁵⁾)によると考えられるが、この過圧縮の場合でも除荷にともなってモコートラクタニンが存在することとは重要である。

$\gamma_{Oct} \sim \gamma_{Oct}$ カーブの初期の傾き G_i は、静水圧履歴を加えることによって、ある一定の値に近づき、 $\bar{\sigma}_m/\sigma_c$ によらずがいはなくなくなっている。また $h'_i/\sigma_c = 0$ では、 $\bar{\sigma}_m/\sigma_c$ が大きくなるにつれて G_i の値は大きく減少する。

以上のことがわからから、FIG.5 に示す end cap 形の降伏条件は、同時に降伏の程度ともいふべき意味でも、これら二点がめぐらす。これは微視的には、丹羽らの示した“内部破壊曲線”⁶⁾に対応している。

(4) 偏差応力の増加にともなって失われるエネルギー(塑性仕事)：平均応力状態 $\bar{\sigma}_m$ (ひずみ E_m) に対して偏差応力 $\bar{\sigma}_{ij}'$ 、 $\bar{\sigma}_{22}'$ 、 $\bar{\sigma}_{33}'$ が加えられると、それにともなって偏差ひずみ ε_{ij}' 、 ε_{22}' 、 ε_{33}' とダイラタニン ΔE_m が生ずる。そうすると加えられた全エネルギー W は、弾性的にくわえられたエネルギー W^e と塑的に失われるエネルギー W^p の和としてあらわされる。

$$\begin{aligned} W &= W^e + W^p = \int 3\bar{\sigma}_m dE_m + (\int \bar{\sigma}_{ij}' d\varepsilon_{ij}' + \int \bar{\sigma}_{22}' d\varepsilon_{22}' + \int \bar{\sigma}_{33}' d\varepsilon_{33}') + \int 3\bar{\sigma}_m d\Delta E_m \\ &= W(\text{hydro}) + W(\text{shear}) + W(\text{dilatancy}) \\ &= (W_h^e + W_h^p) + (W_s^e + W_s^p) + (W_d^e + W_d^p) \end{aligned}$$

W_h ：平均応力 $\bar{\sigma}_m$ を加えるのに要する全エネルギー、 W_s ：せりに偏差応力を加えるのに要するエネルギー、 W_s^p ：このうち塑性変形を生じさせるのに要するエネルギー(損失するエネルギー)、 W_d ：ダイラタニンのために使われたエネルギー、 W_d^p ：このうち損失するエネルギー。これらの値は、FIG.8 に示すように、 σ_{11} 、 σ_{22} 、 σ_{33} の 3 つの方向の応力-ひずみ図から、その面積を求めるによることによ、こ

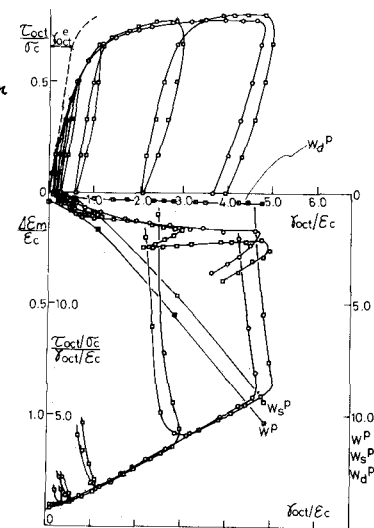


FIG. 6 Stress-strain relationships in deviatoric stress test (test C)
case $h'_i/\sigma_c = 2.42$, $\bar{\sigma}_m/\sigma_c = 0.94$, $\lambda = -1$

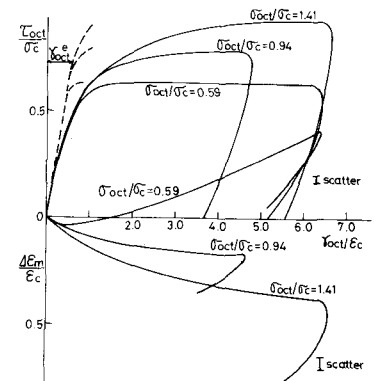


FIG. 7 Stress-strain relationships in deviatoric stress test (test C)
case $h'_i/\sigma_c = 2.42$, $\lambda = -1$

求められる。クリープによるひずみがあるのと、クリープ仕事による誤差が含まれる。 W_d の値は正にも負にもなり得、負の場合には、 σ_m にせからって仕事をすることになる。せん断中に失われるエネルギー W_d^P , W_s^P , 及び全塑性仕事 $W^P = W_d^P + W_s^P + W_d^P$ は、たとえば FIG. 4, 6 のように示される。図では W^P , W_s^P , W_d^P とも $\frac{1}{2} \sigma \varepsilon_c$ との比で示した。降伏にともなって、 W_s^P は急激に大きくなる、でいいが、 W_d^P は γ_{act} が小さいときを除いて、 W_s^P に比べて小さく、降伏によるとその値はかわらない。

このように、ダイラタンシに対して仕事がなされないところとは、加えられた偏差応力の大きさが、せん断変形のためにそのまま使われてはいなし、ということを意味する。作用する偏差応力 T_{act} は、せん断変形に対する抵抗として簡単にあらわされない。すなむちダイラタンシに対する補正が必要とされ、それは変形の増分に対する仕事の増分としてあらわすことができる。J. M. Edmond らは拘束圧一定の3軸圧縮状態で、このダイラタンシ補正をおこなう、でいる⁷⁾。偏差ひずみ $d\varepsilon_{ij}'$ とダイラタンシ $d\varepsilon_m$ が生ずるとおこなわれる仕事の増分 dW は、

$$dW = \sigma_{ij}' d\varepsilon_{ij}' + 3\sigma_m d\varepsilon_m \\ = \frac{3}{2G} T_{act} dT_{act} + 3\sigma_m d\varepsilon_m \quad (d\sigma_{ij}' = 2G d\varepsilon_{ij}')$$

$$\frac{2dW}{3d\gamma_{act}} = T_{act} + 2\sigma_m \frac{d\varepsilon_m}{dT_{act}}$$

こうして、ダイラタンシに対して補正された偏差応力 $(T_{act})_r$ は、変形へ抵抗値として、

$$(T_{act})_r = T_{act} + 2\sigma_m d\varepsilon_m / d\gamma_{act}$$

として得られる。 $d\varepsilon_m / d\gamma_{act} > 0$ で $(T_{act})_r > T_{act}$, $d\varepsilon_m / d\gamma_{act} < 0$ で $(T_{act})_r < T_{act}$ 。

このようにして求めた $(T_{act})_r$ を計算するさいには、クリープによる誤差が含まれるので、注意を要する。

4. まとめ： 巨視的な変形のメカニズムは、微視的な変形メカニズムの集積の結果として、我々の目に見えるものであるから、この巨視的な変形は、つねに微視的な変形との関係において論ぜらるねばならない。すなむち、以上に述べたようなことがらは、モルタルの実質部分の間隙への落ち込み、内部的に破碎された粒子同志のめりこえ、微視的なクラックの発生、発達、間隙の圧差、セメントペーストと骨材との分離、ペースト部分の流動、などとの関係で考えられねばならない。

謝辞： この研究は、有藤敏明、富権豊、山中俊美、辻本真明、加藤保道の諸氏の助言と協力のもとにあこなわれた。深く感謝します。

参考文献： 1. 富田、秋本、川本：三軸圧縮応力下におけるモルタルの変形特性、土木学会論文集、195号、1970 pp. 75~83, 2. 内羽、中川：静水圧下におけるモルタルの挙動につい、土木学会論文集、185号、1971, pp. 43~50, 3. J. B. Cheatham Jr.: A new yield condition and hardening rule for rocks, Int. J. Rock. Mech. Min. Sci. vol. 9. 1972. pp. 453~474. 4. Hon-Yim Ko, R.F. Scott: Deformation of Sand in shear, ASCE, 1967, SM5, pp. 283~310, 5. 三笠：土のかさにおける構造の概念の意義について、37年、土木学会講演会概要 III-14, 6. 内羽、小柳、中川：三軸圧縮応力下におけるユンクリー型破壊過程、土木学会論文集、185号、1971, pp. 31~41, 7. J.M. Edmond, M.S. Patterson: Volume Change during the deformation of Rocks at high Pressures Int. J. Rock. Mech. Min. Sci. vol. 9. 1972. pp. 161~181

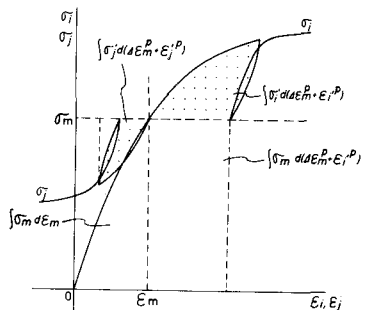


FIG. 8 Plastic works represented on stress-strain relationships